

Fig. 1.11. Spatial distribution of the winter maximum cumulative duration of extremely severe dry spells
 Distribuția spațială a duratei cumulate maxime a perioadelor secetoase extrem de severe din anotimpul de iarnă

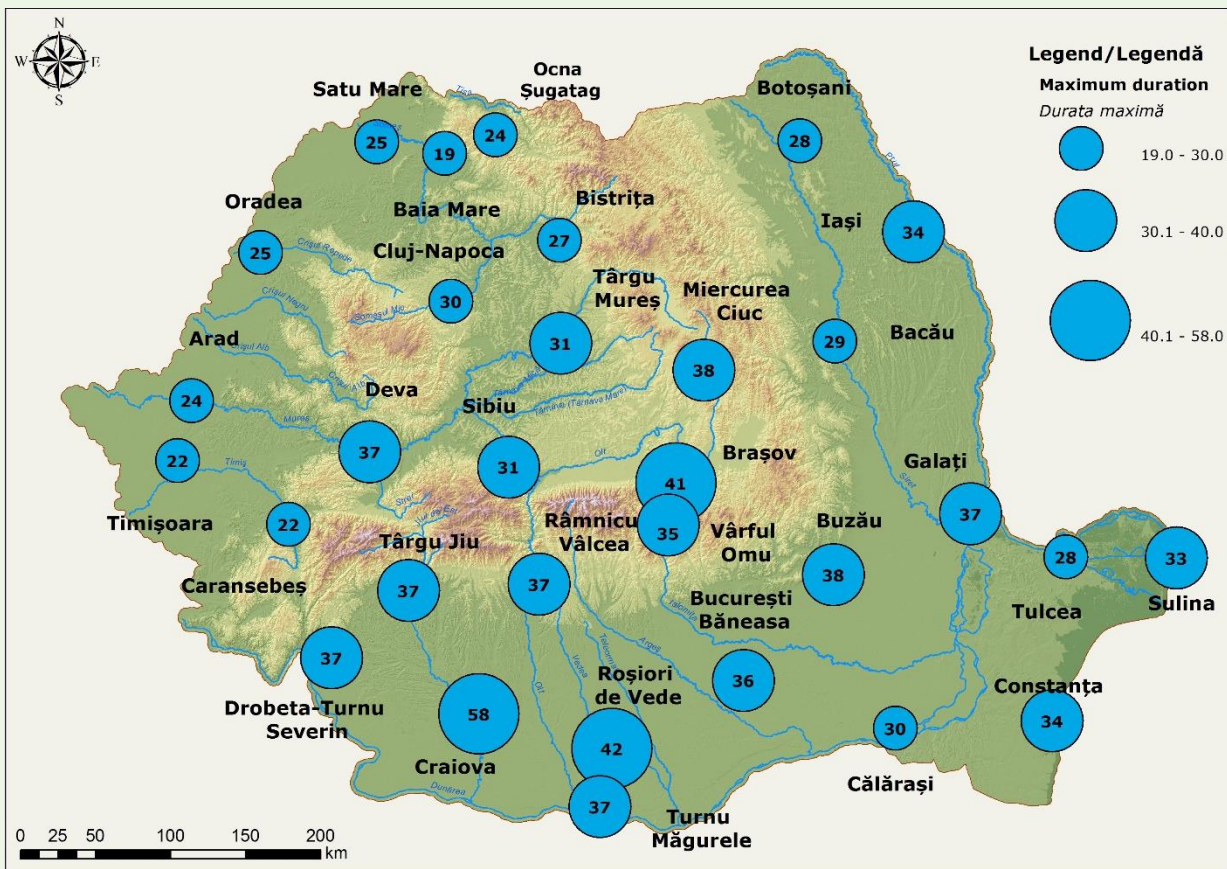


Fig. 1.19. Spatial distribution of the winter maximum duration of extremely severe dry spells
 Distribuția spațială a duratei maxime a perioadelor secetoase extrem de severe din anotimpul de iarnă

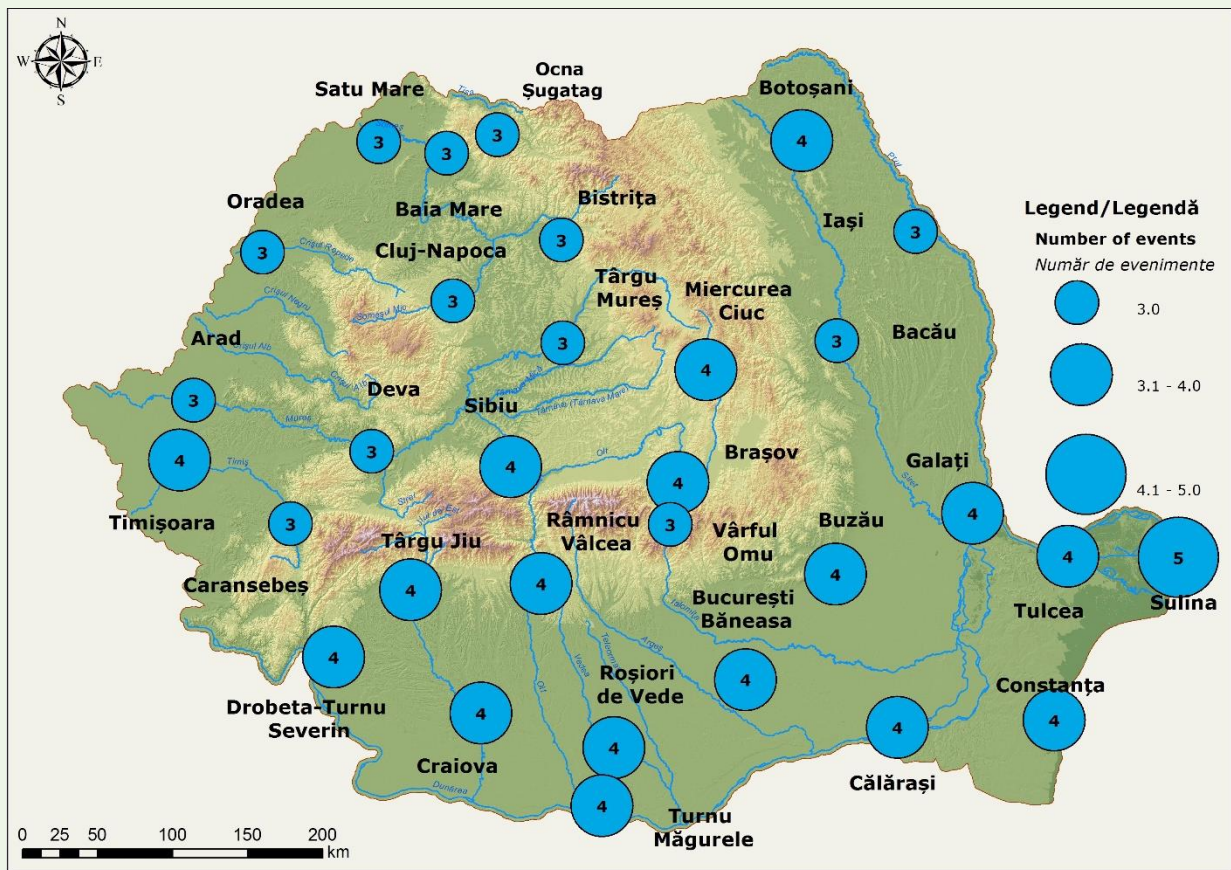


Fig. 1.23. Spatial distribution of the winter maximum number of extremely severe dry spells
 Distribuția spațială a numărului maxim al perioadelor secetoase extrem de severe din anotimpul de iarnă

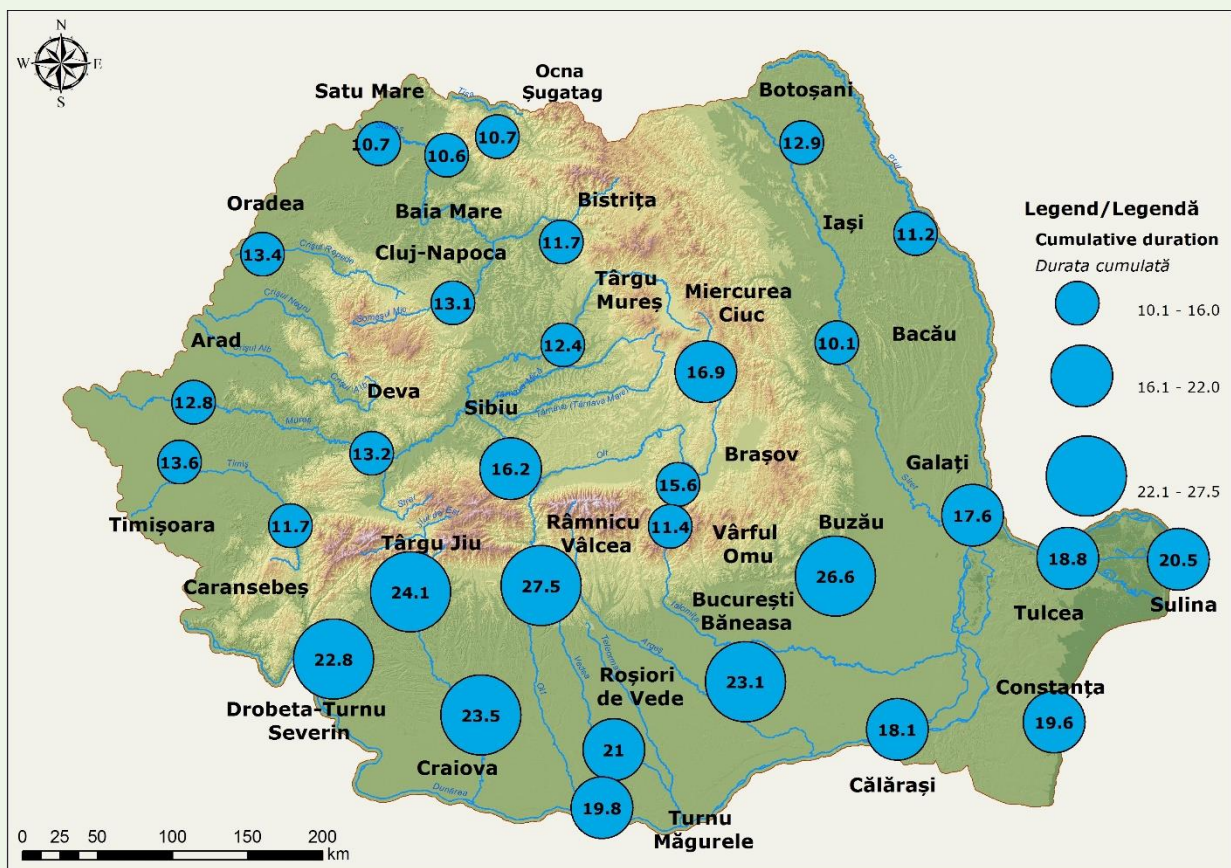


Fig. 1.11. Spatial distribution of the winter mean cumulative duration of extremely severe dry spells
 Distribuția spațială a duratei cumulate medii a perioadelor secetoase extrem de severe din anotimpul de iarnă

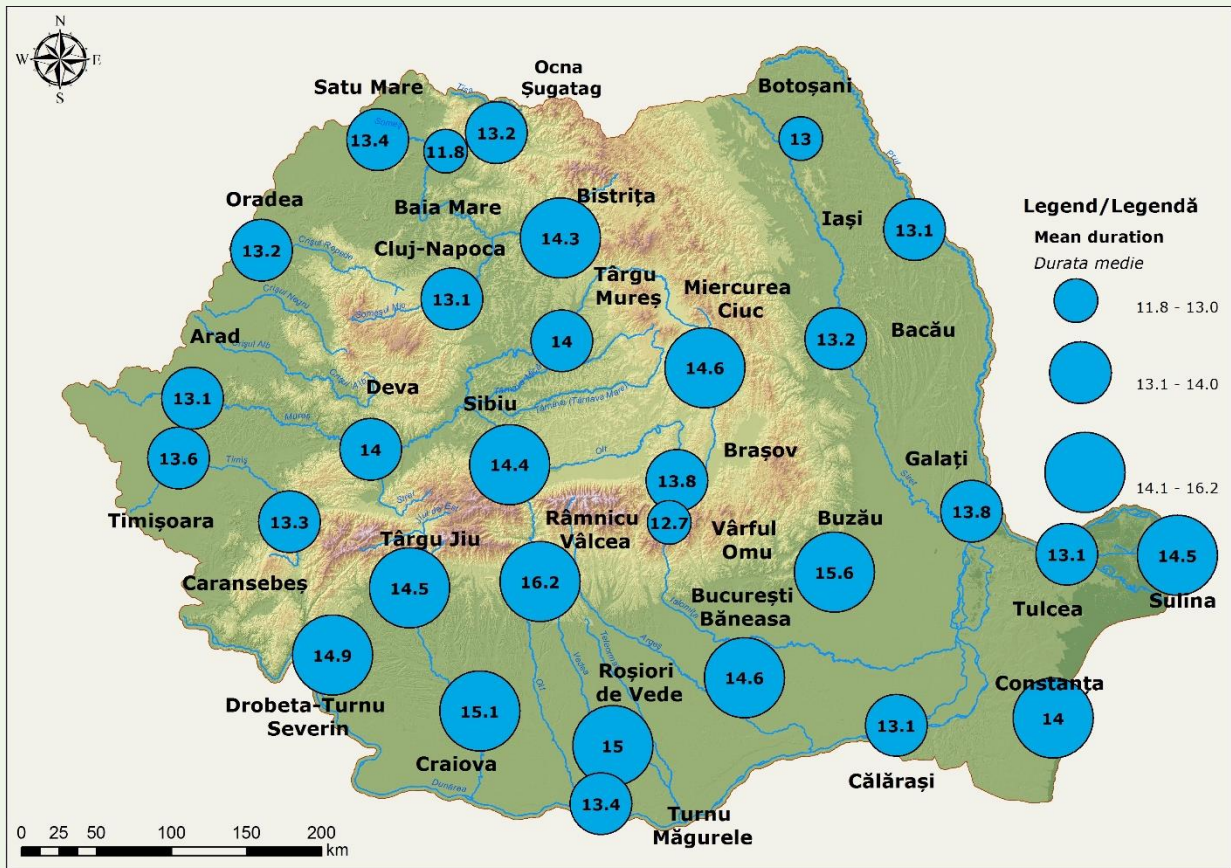


Fig. 1.19. Spatial distribution of the winter mean duration of extremely severe dry spells
 Distribuția spațială a duratei medii a perioadelor secetoase extrem de severe din anotimpul de iarnă

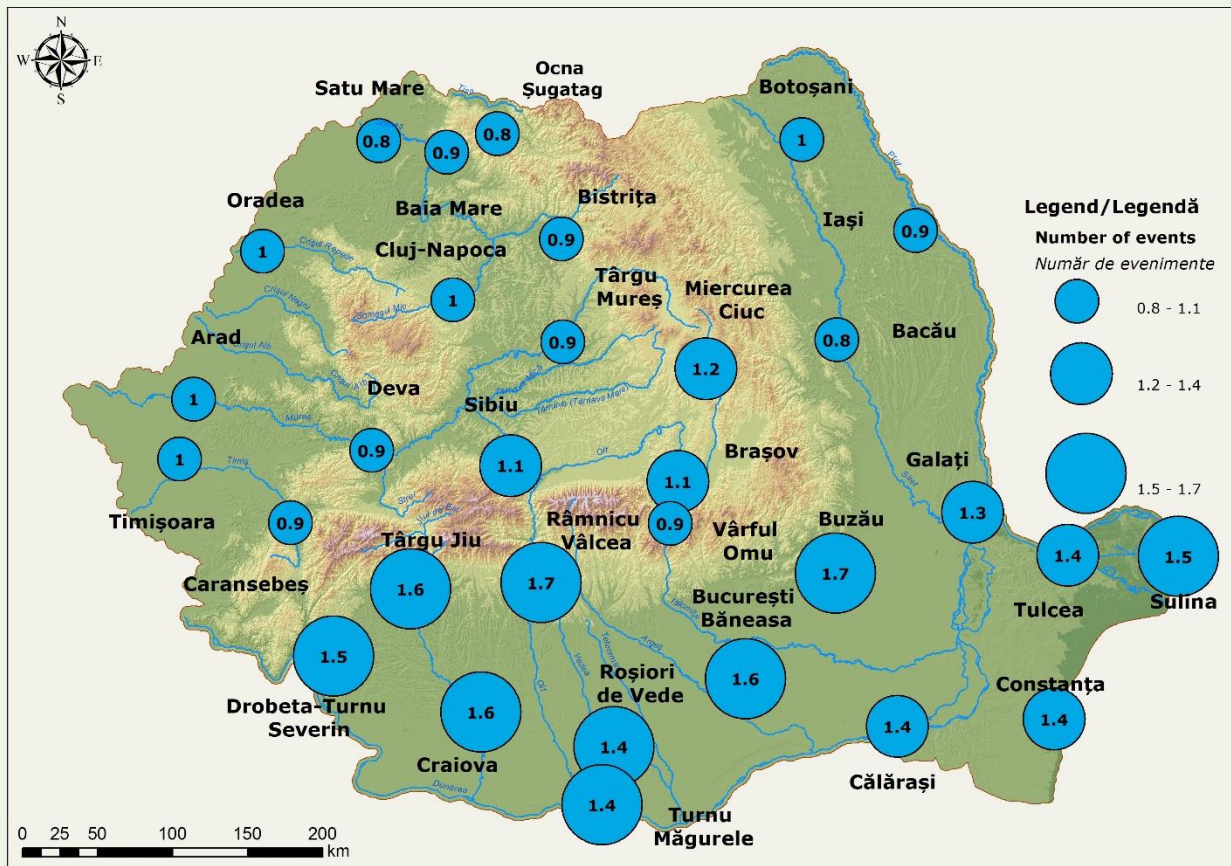


Fig. 1.23. Spatial distribution of the winter mean number of extremely severe dry spells detected
 Distribuția spațială a numărului mediu al perioadelor secetoase extrem de severe din anotimpul de iarnă